



# Estudo da dinâmica e controlo de um pórtico

---

**Dinâmica e Controlo de Veículos Espaciais**

António Ferreira		107863
Magner Gusse		110180
Vasco Carreira		109439

# TABELA DE CONTEÚDOS

01.

---

INTRODUÇÃO

02.

---

METODOLOGIA e  
RESULTADOS

03.

---

CONCLUSÃO

# 01. INTRODUÇÃO

# Introdução



A **análise** e o **controle** de sistemas mecânicos são fundamentais para garantir precisão e estabilidade de estruturas

A resposta dinâmica deste tipo de sistemas deve ser estudada para

**Evitar ressonância**

**Reduzir vibrações**

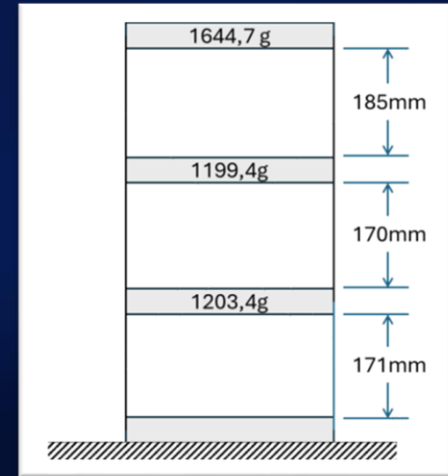


Contribuindo para um  
desempenho mais seguro e  
eficiente

# Objetivos

- Desenvolver um modelo discreto que represente o comportamento dinâmico da estrutura
- Determinar os parâmetros modais
- Implementar um controlador LQR
- Implementar observadores para estimar todos os estados

Permite um controle mais eficiente



# Condições de Fronteira



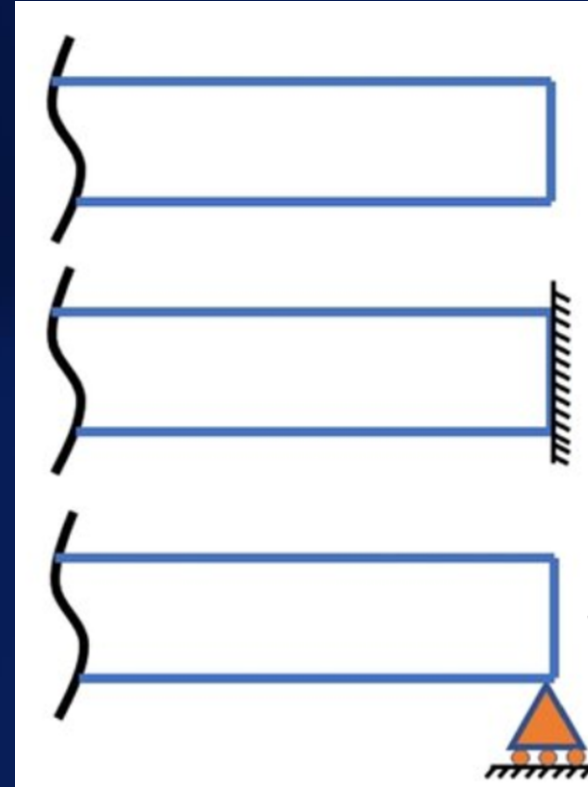
**LIVRE**



**ENCASTRADA**



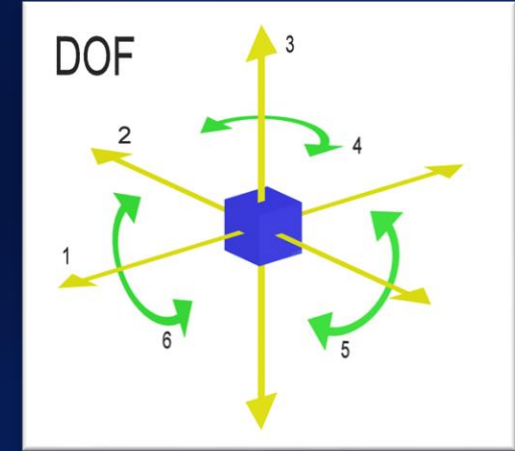
**SIMPLESMENTE  
APOIADA**



# Graus de Liberdade (DOF)

Qualquer sistema mecânico pode ser classificado consoante o número de graus de liberdade que possui

Número de parâmetros independentes necessários para descrever a sua posição no espaço



Para este trabalho, o sistema é simplificado para um modelo discreto com três graus de liberdade

Correspondentes aos deslocamentos das massas ao longo da direção da vibração

# Modos e Frequências Naturais

**Modos Naturais**

**Frequências Naturais**

Descrevem a vibração do sistema quando este é excitado por uma força externa

● Permitem prever o comportamento do sistema ➡ **Evitando problemas como:**

- Ressonância na estrutura
- Falhas

Os Modos Naturais representam padrões de movimento que o sistema adquire quando vibra livremente

definidos por

**Forma Modal**

**Frequência Natural**



## 02. Metodologia e Resultados

# Sistema de Equações do Movimento

$$[M]\{\ddot{x}(t)\} + [C]\{\dot{x}(t)\} + [K]\{x(t)\} = \{f(t)\}$$

$$m_1 \cdot \ddot{x}_1 + K_1 \cdot x_1 + K_2 \cdot x_1 - K_2 \cdot x_2 = F_1 = 0$$

$$m_2 \cdot \ddot{x}_2 + K_2 \cdot x_2 - K_2 \cdot x_1 + K_3 \cdot x_2 - K_3 \cdot x_3 = F_2 = 0$$

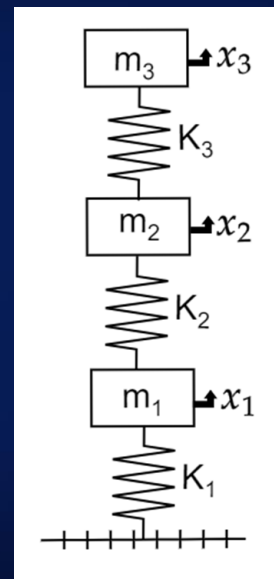
$$m_3 \cdot \ddot{x}_3 + K_3 \cdot x_3 - K_3 \cdot x_2 = F_3 = 0$$



$$K_1 = 4K_{viga1}; \quad K_{viga1} = \frac{12EI}{L_1^3}$$

$$K_2 = 4K_{viga2}; \quad K_{viga2} = \frac{12EI}{L_2^3}$$

$$K_3 = 4K_{viga3}; \quad K_{viga3} = \frac{12EI}{L_3^3}$$



# Cálculo Numérico

$$M = \begin{bmatrix} m_1 & 0 & 0 \\ 0 & m_2 & 0 \\ 0 & 0 & m_3 \end{bmatrix} \quad K = \begin{bmatrix} K_1 + K_2 & -K_2 & 0 \\ -K_2 & K_2 + K_3 & -K_3 \\ 0 & -K_3 & K_3 \end{bmatrix}$$

$$[a, b] = \text{eig}(K, M)$$

$$Kv = \lambda Mv$$

$$\lambda = \omega^2$$

Parâmetro	Valor
Módulo de elasticidade	$E = 70 \text{ GPa}$
Massa 1	$m_1 = 1203,4 \text{ g}$
Massa 2	$m_2 = 1199,4 \text{ g}$
Massa 3	$m_3 = 1644,7 \text{ g}$
Comprimento 1	$L_1 = 171 \text{ mm}$
Comprimento 2	$L_2 = 170 \text{ mm}$
Comprimento 3	$L_3 = 185 \text{ mm}$

Resultados:

$$f1 = 3.88 \text{ Hz}$$

$$f2 = 10.73 \text{ Hz}$$

$$f3 = 16.90 \text{ Hz}$$

# Discussão do grau de aproximação do Modelo Discreto em relação à realidade

## Condições de Fronteira

No modelo discreto, as vigas são assumidas como bi-encastadas, o que restringe deslocamento e rotação nas extremidades

## Pontos de Massa Discretos vs Massa Distribuída

No modelo discreto, a massa das vigas é desprezada, considerando que toda a massa está concentrada em três pontos discretos correspondentes aos blocos móveis.

Na realidade, as vigas possuem uma massa distribuída que contribui para o comportamento dinâmico da estrutura.

## Rigidez da viga vs Rigidez das massas

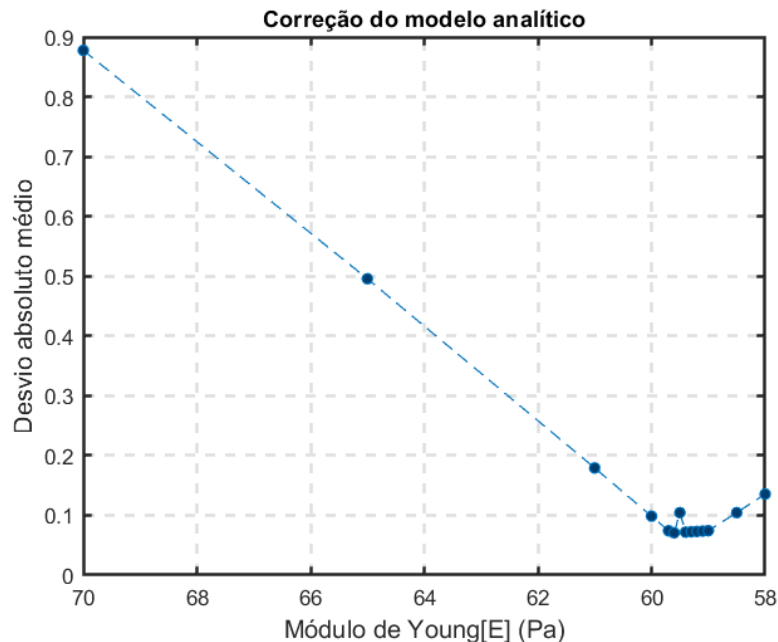
Assumir que as massas têm rigidez infinita.

## Graus de Liberdade

No modelo discreto, o sistema é restrito a três graus de liberdade transversais. No entanto, o mecanismo real pode permitir graus de liberdade adicionais, como por exemplo rotações.

Essa simplificação reduz a complexidade do modelo.

# Correção do módulo de Young



## ● Frequências experimentais:

$f1 = 3.42 \text{ Hz}$      $f2 = 9.85 \text{ Hz}$      $f3 = 15.60 \text{ Hz}$

## ● Frequências antes da correção:

$f1 = 3.88 \text{ Hz}$      $f2 = 10.73 \text{ Hz}$      $f3 = 16.90 \text{ Hz}$

## ● Frequências após a correção:

$f1 = 3.58 \text{ Hz}$      $f2 = 9.90 \text{ Hz}$      $f3 = 15.59 \text{ Hz}$

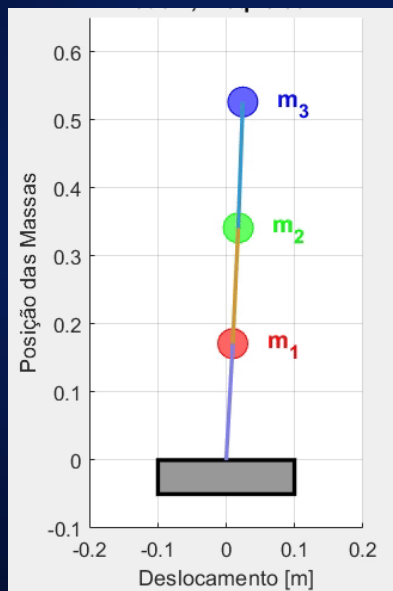
$E = 70 \text{ GPa}$      $\longrightarrow$      $E = 50.9 \text{ GPa}$

# Método dos Elementos Finitos - SolidWorks

$$x_i(t) = A \cdot \Phi_i \cdot \sin(\omega_n \cdot t)$$

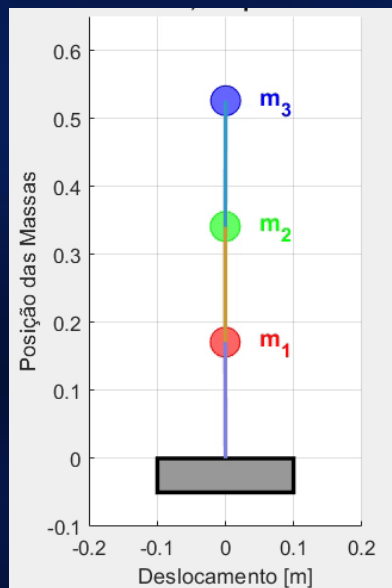
**Modo 1**

Frequência: 3,57 Hz



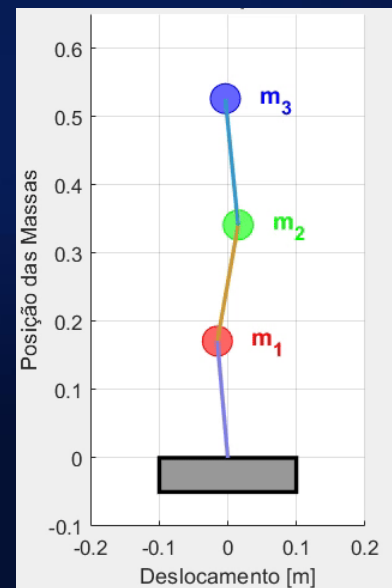
**Modo 2**

Frequência: 9,90 Hz



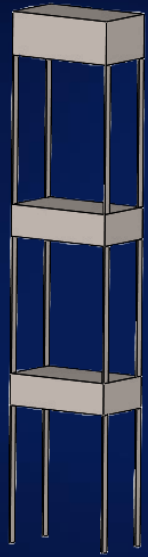
**Modo 3**

Frequência: 15,59 Hz



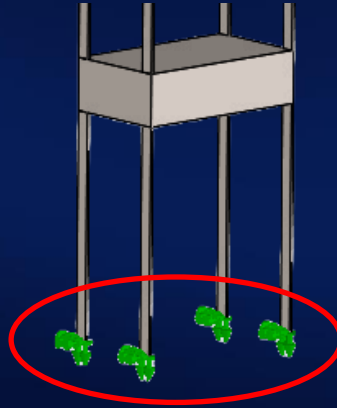
# Método dos Elementos Finitos - SolidWorks

Modelação Geométrica

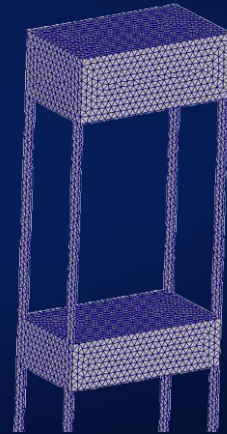


$E = 59,6 \text{ GPa}$

Condições

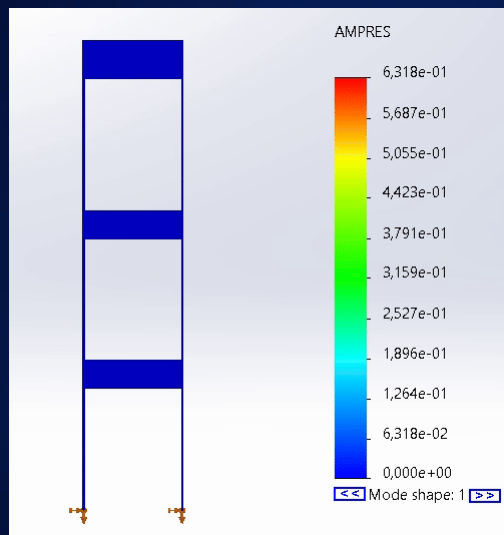


Malha

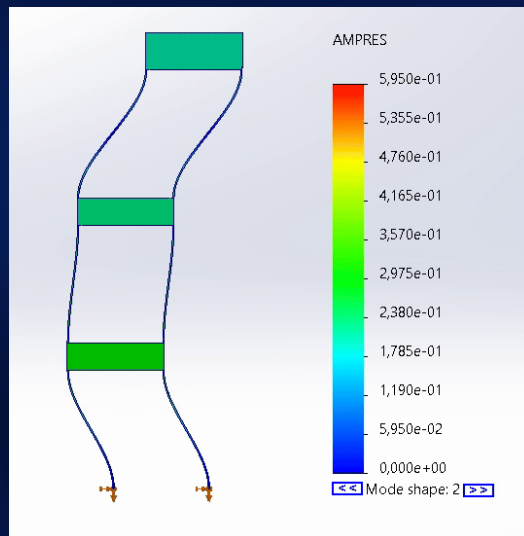


# Método dos Elementos Finitos - SolidWorks

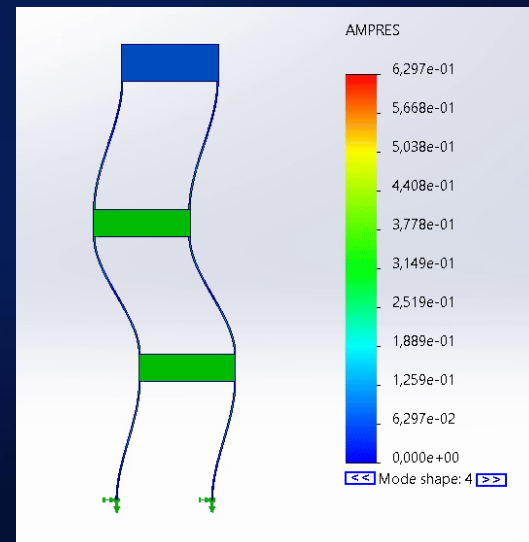
**Frequência:  
3.57 Hz**



**Frequência:  
9.90 Hz**



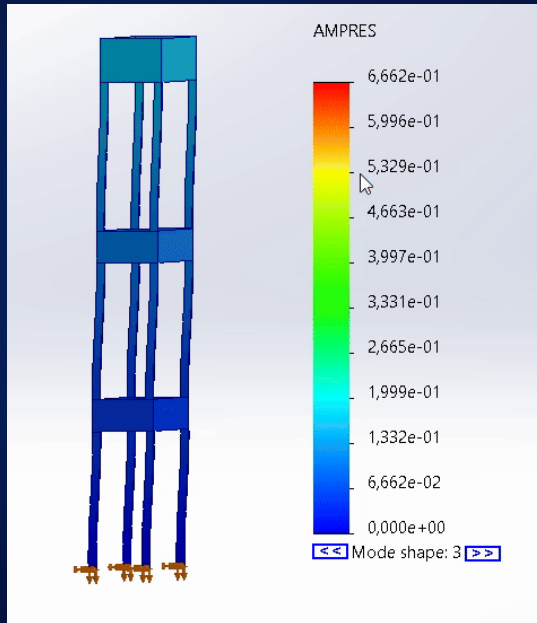
**Frequência:  
15.59 Hz**



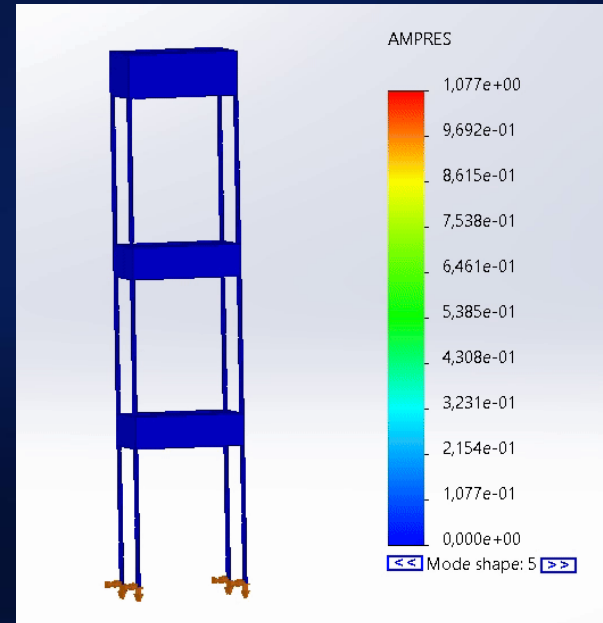


# Método dos Elementos Finitos - SolidWorks

**Frequência:  
15,02 Hz**



**Frequência:  
25,47 Hz Hz**



# Método dos Elementos Finitos - SolidWorks

Experimental (Hz)	SolidWorks (Hz)	Matlab (Hz)
3.43	3.50	3.57
9.85	9.69	9.90
15.60	15.30	15.59

- Resultados do SolidWorks e do Matlab bastante semelhantes
- O modelo discreto implementado fornece uma boa aproximação

# Modelação em Matlab

## Sistema sem Controlo

Equação de estado:  $\dot{x}(t) = Ax(t) + Bu(t)$

Equação da saída:  $y(t) = Cx(t) + Du(t)$

$$A = \begin{bmatrix} 0 & 1 & 0 & 0 & 0 & 0 \\ -\frac{K_1+K_2}{m_1} & -\frac{C_1+C_2}{m_1} & \frac{K_2}{m_1} & \frac{C_2}{m_1} & 0 & 0 \\ 0 & 0 & 0 & 1 & 0 & 0 \\ \frac{K_2}{m_2} & \frac{C_2}{m_2} & -\frac{K_2+K_3}{m_2} & -\frac{C_2+C_3}{m_2} & \frac{K_3}{m_2} & \frac{C_3}{m_2} \\ 0 & 0 & 0 & 0 & 0 & 1 \\ 0 & 0 & \frac{K_3}{m_3} & \frac{C_3}{m_3} & -\frac{K_3}{m_3} & -\frac{C_3}{m_3} \end{bmatrix}$$

$$B = \begin{bmatrix} 0 \\ 1 \\ \frac{1}{m_1} \\ 0 \\ 0 \\ 0 \\ 0 \end{bmatrix}$$

$$C = \begin{bmatrix} 1 & 0 & 0 & 0 & 0 & 0 \\ 0 & 1 & 0 & 0 & 0 & 0 \\ 0 & 0 & 1 & 0 & 0 & 0 \\ 0 & 0 & 0 & 1 & 0 & 0 \\ 0 & 0 & 0 & 0 & 1 & 0 \\ 0 & 0 & 0 & 0 & 0 & 1 \end{bmatrix}$$

$$D = \begin{bmatrix} 0 \\ 0 \\ 0 \\ 0 \\ 0 \\ 0 \end{bmatrix}$$

## Controlador LQR

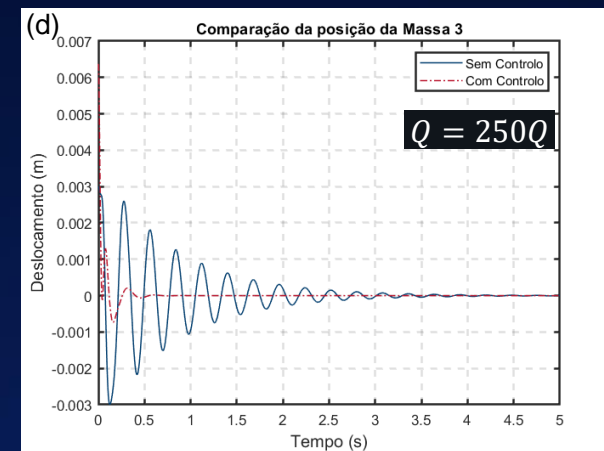
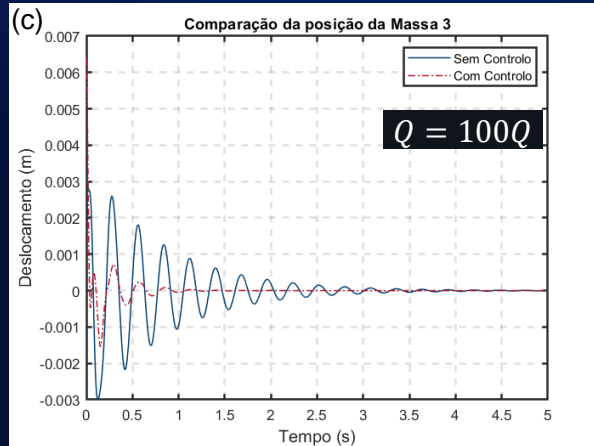
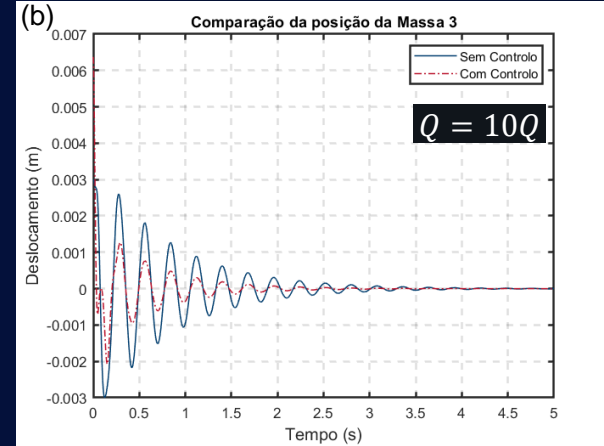
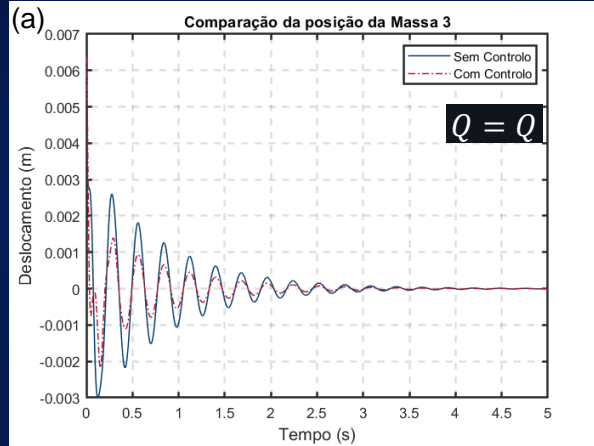
$$Q = \text{diag}([0.1, 0.1, 0.1, 0.1, 10, 0.1])$$

$$R = 0.01;$$

$$K_r = \text{lqr}(A, B, Q, R)$$

$$A_{lqr} = A - B * K_r$$

# Sistema sem Controle vs Sistema com Controle



# Modelação em Matlab

## LQR com alocação de polos

```
C_X3=[0 0 0 0 1 0]';  
Pobs = [-10*9.6 - 6.3j, -9.6*10 + 6.3j, -6.3*10 + 3.15j, -6.3*10 - 3.15j, -6.15*10, -9.15*10];  
LT = place(A', C_X3,Pobs);  
L = LT';
```

```
Ao = A-L*C_X3;  
Co = eye(6);  
Bo = [B L];  
Do = [0 0 0 0 0 0; 0 0 0 0 0 0]';
```

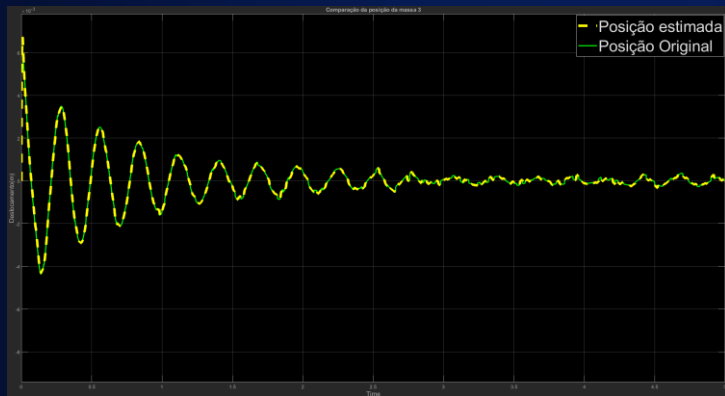
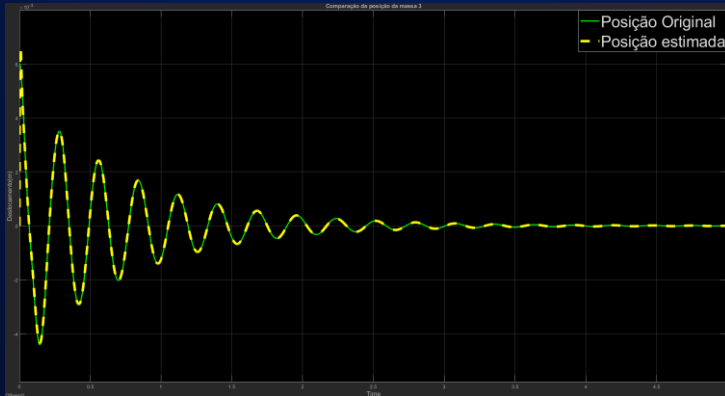
## LQR com observador de Kalman

```
Q_kalman = 0.1 * eye(6)  
R_kalman = 0.01;  
C_kalman = [0 0 0 0 1 0];  
[F_kalman, ~, ~] = lqe(A, Q_kalman, C_kalman, Q_kalman, R_kalman);
```

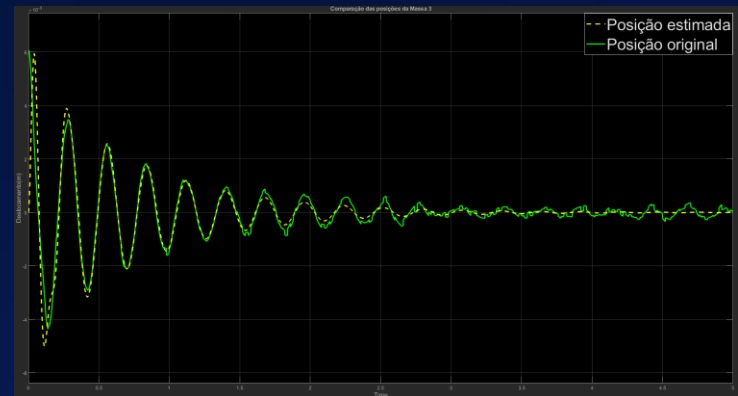
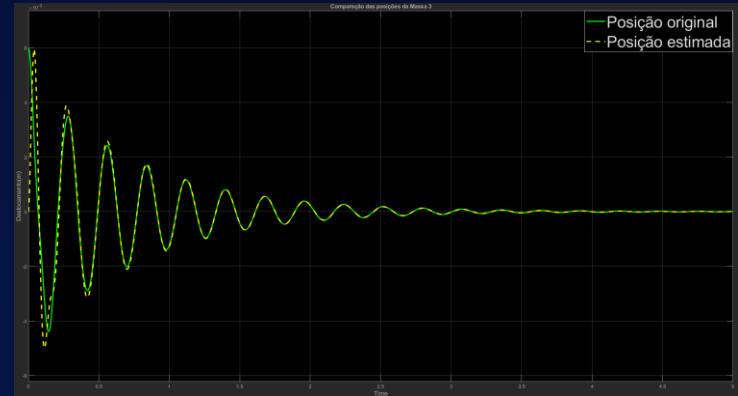
```
A_kalman = A_lqr - F_kalman * C_kalman;  
B_kalman = [B F_kalman];  
C_kalman_sistema = eye(6);  
D_kalman = 0*B_kalman;
```

# Modelação em Matlab

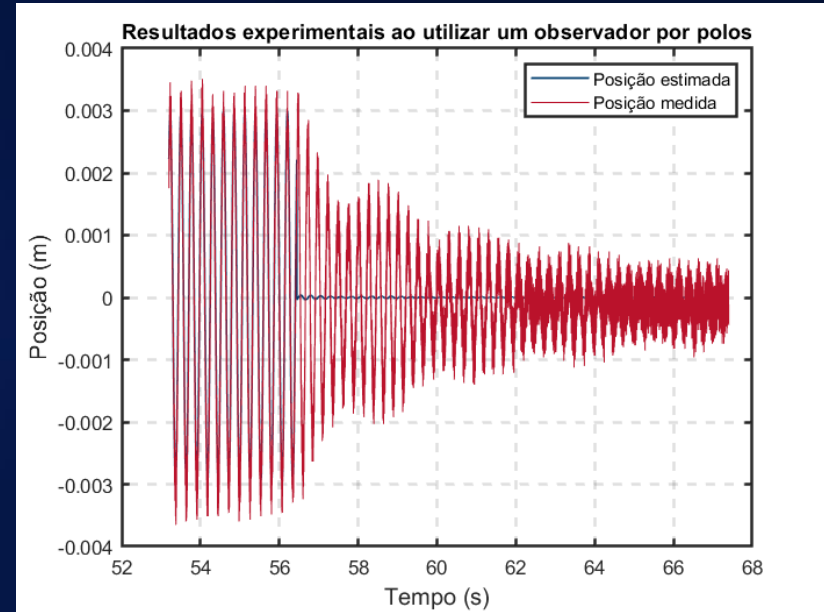
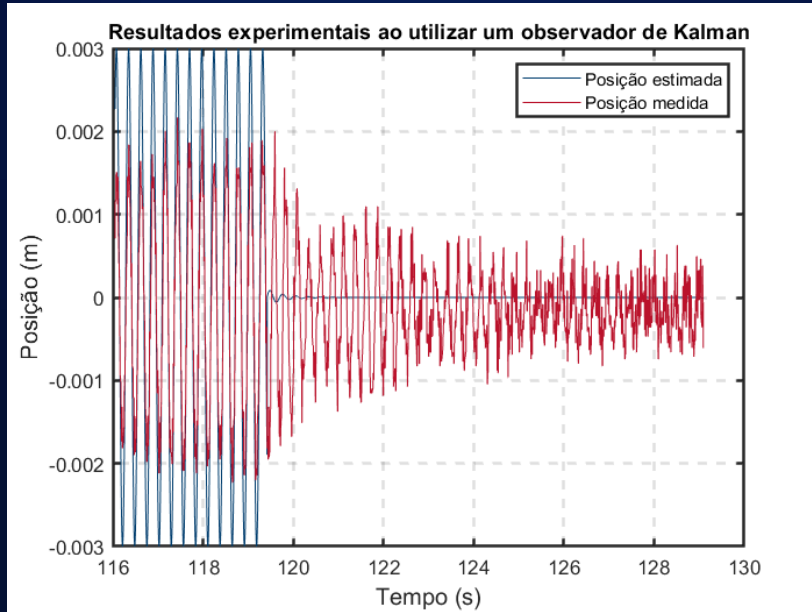
## LQR com alocação de polos



## LQR com observador de Kalman



# Análise experimental



## 03. Conclusão



# Conclusão

- Resultados analíticos, numéricos e obtidos através do MEF são concordantes;
- Controlador LQR mostrou-se eficaz na estabilização do sistema em estudo;
- LQR com alocação de polos estimou de forma precisa o estado da posição da massa 3;
- Observador de Kalman não se mostrou eficaz em ambiente experimental.



Obrigado!